

SHARK, A FISHINO SPUNTANO I DENTI

Una nuova scheda Arduino-like appare all'orizzonte ed ha prestazioni tali da poter "divorare" le concorrenti: non a caso è stata chiamata Shark, ossia squalo! Conosciamone le caratteristiche e le novità. Prima puntata.

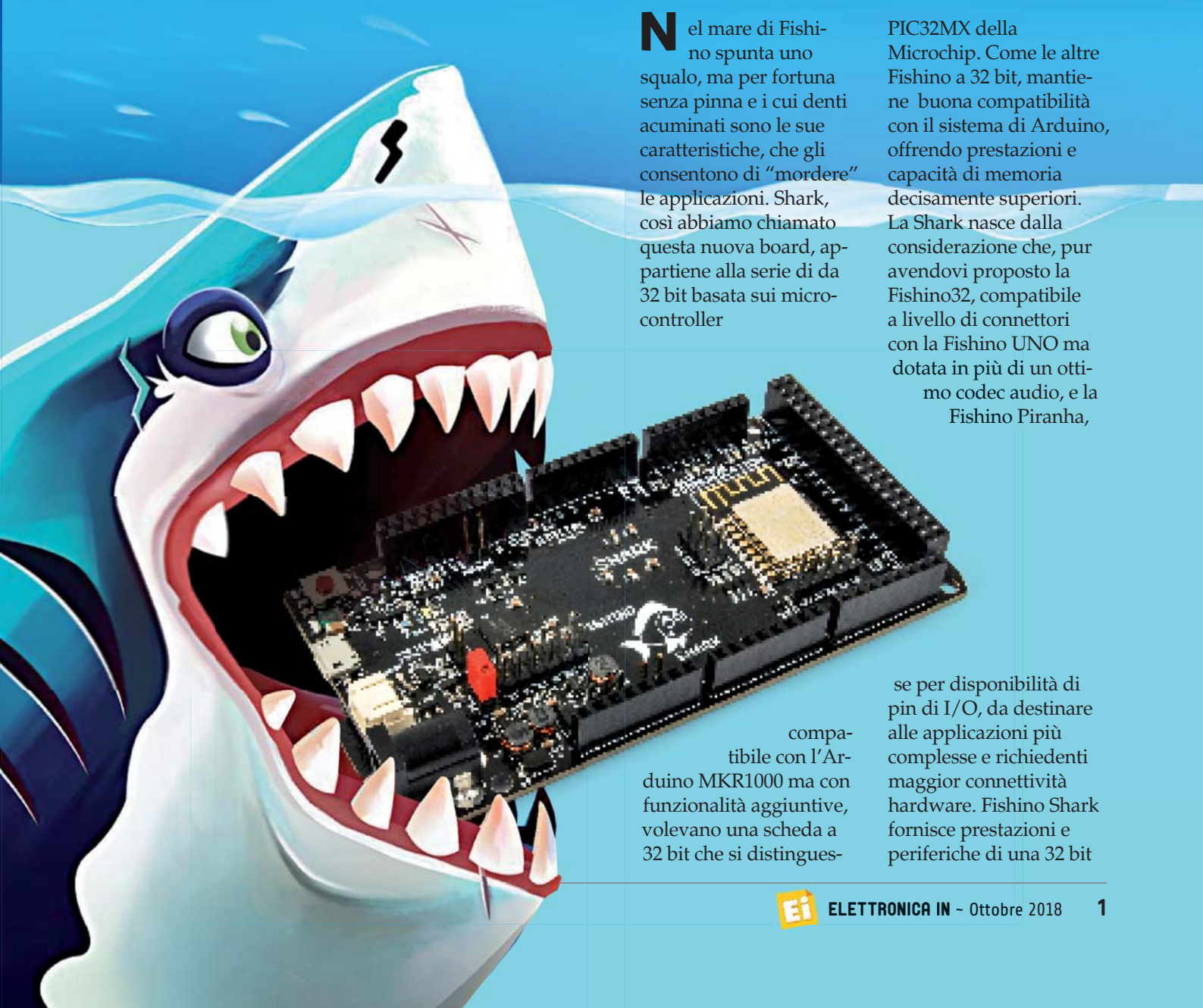
..... di MASSIMO DEL FEDELE

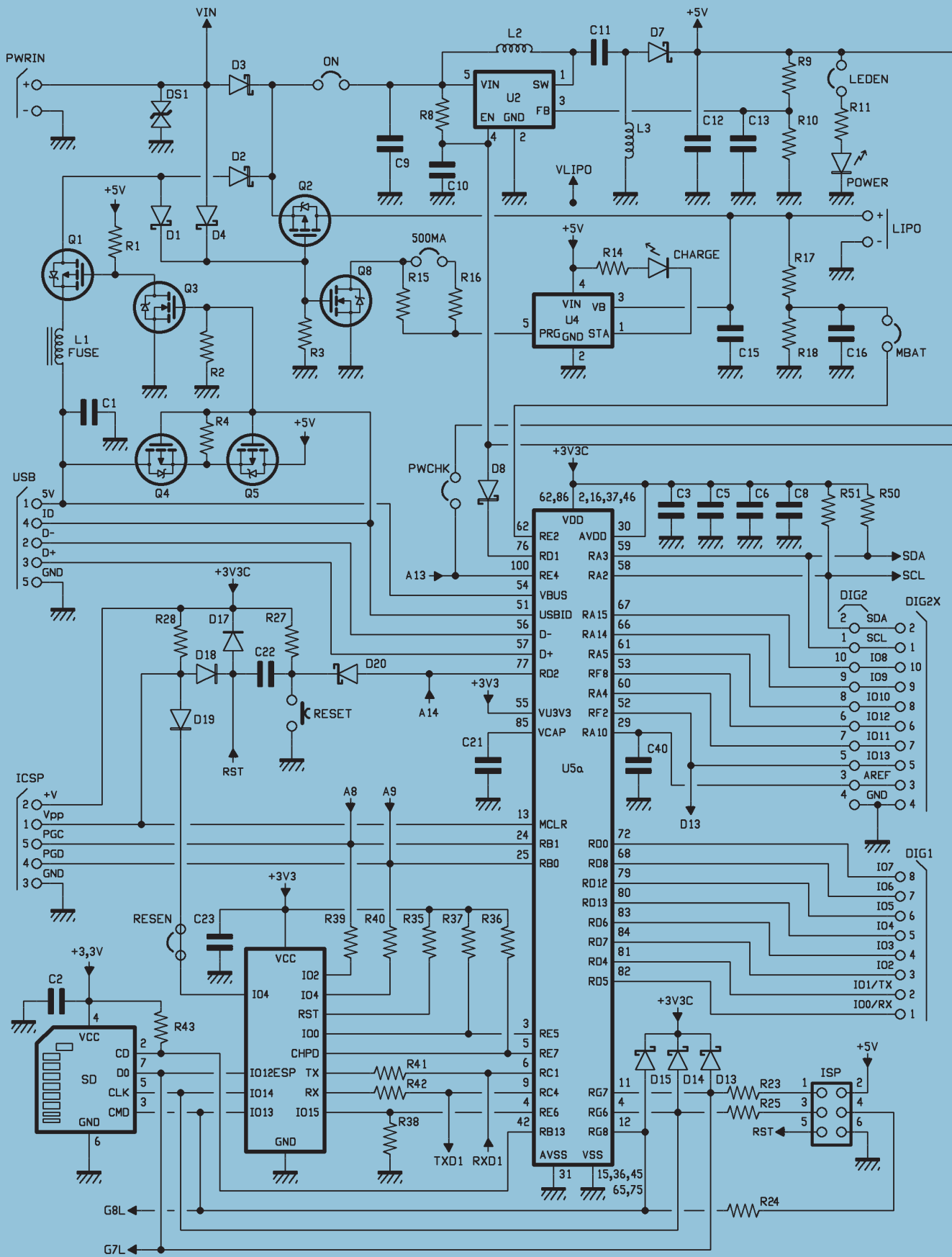
Nel mare di Fishino spunta uno squalo, ma per fortuna senza pinna e i cui denti acuminati sono le sue caratteristiche, che gli consentono di "mordere" le applicazioni. Shark, così abbiamo chiamato questa nuova board, appartiene alla serie di da 32 bit basata sui micro-

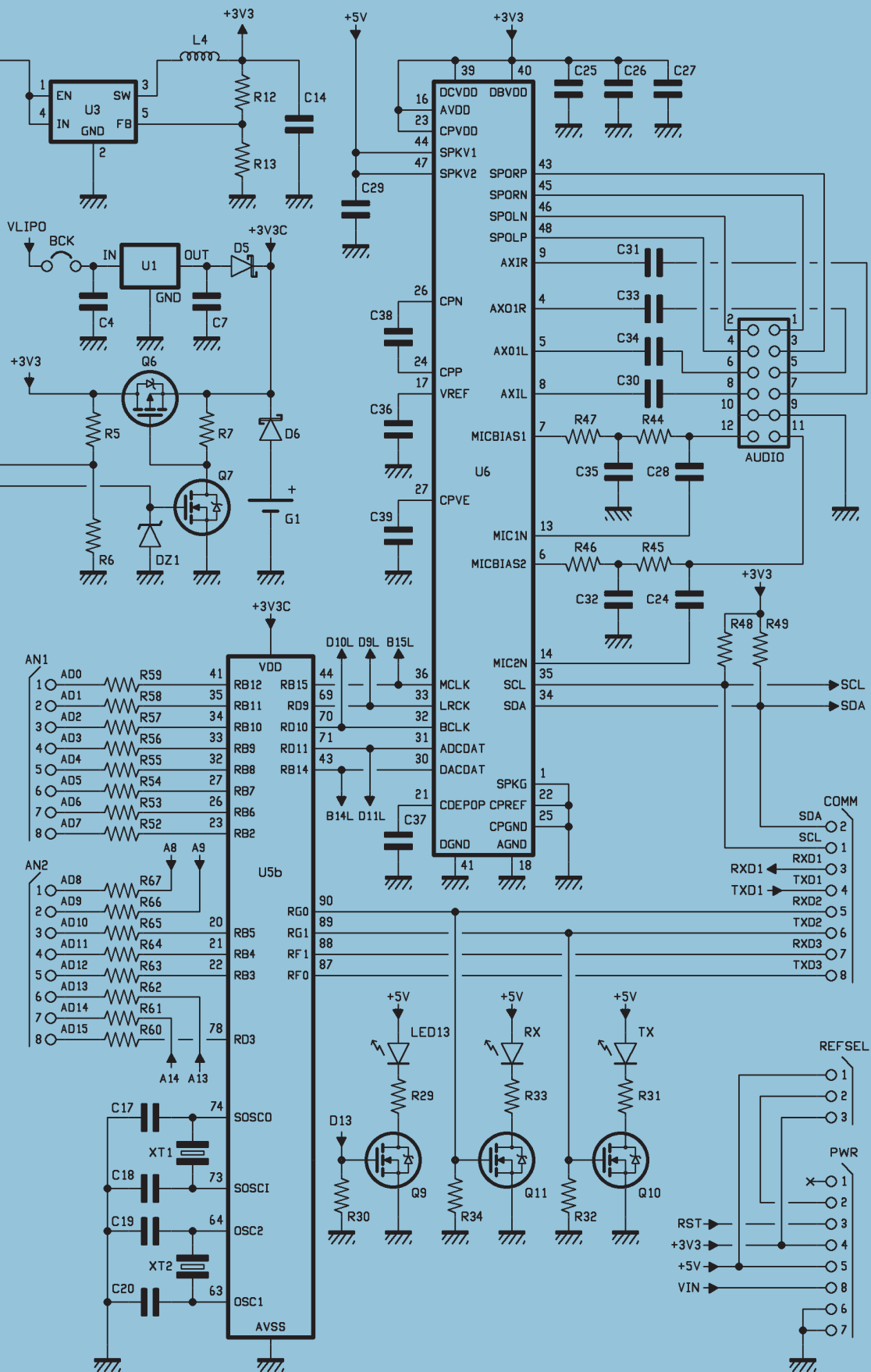
PIC32MX della Microchip. Come le altre Fishino a 32 bit, mantiene buona compatibilità con il sistema di Arduino, offrendo prestazioni e capacità di memoria decisamente superiori. La Shark nasce dalla considerazione che, pur avendovi proposto la Fishino32, compatibile a livello di connettori con la Fishino UNO ma dotata in più di un ottimo codec audio, e la Fishino Piranha,

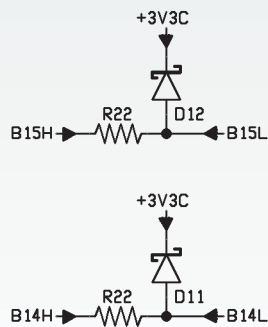
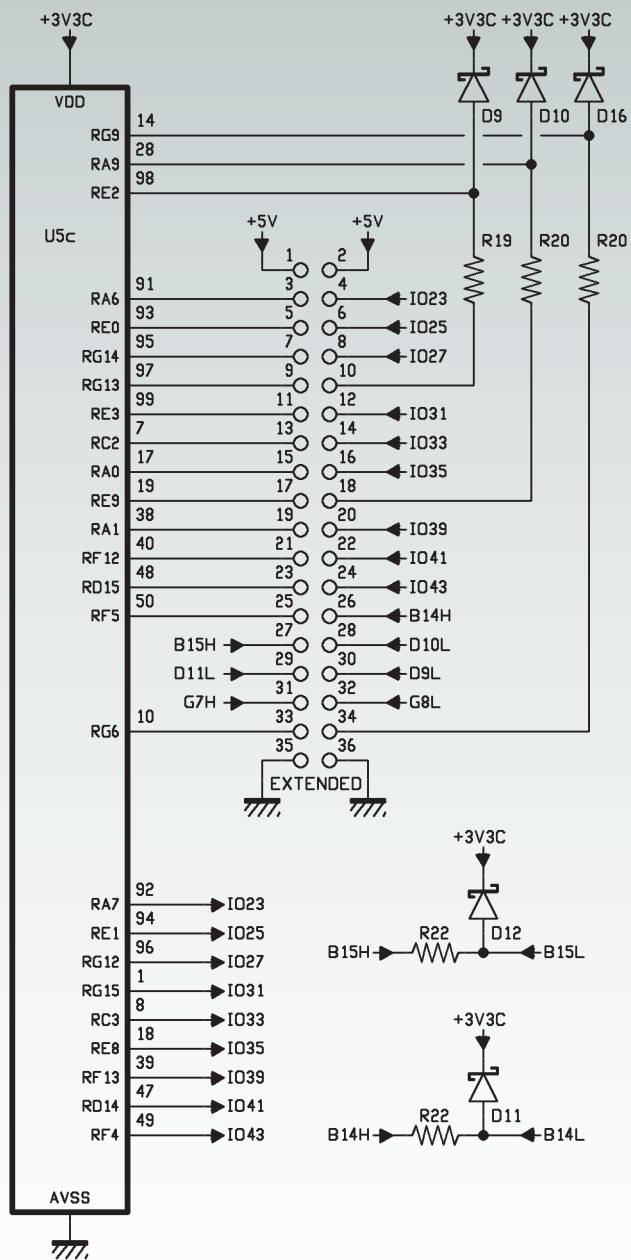
compatibile con l'Arduino MKR1000 ma con funzionalità aggiuntive, volevano una scheda a 32 bit che si distingues-

se per disponibilità di pin di I/O, da destinare alle applicazioni più complesse e richiedenti maggior connettività hardware. Fishino Shark fornisce prestazioni e periferiche di una 32 bit









nel format di un Arduino/Fishino MEGA. Grazie a uno specifico bootloader, per aggiornare il firmware del modulo WiFi basta una pressione prolungata del tasto reset e la scheda si predisporrà automaticamente in modalità aggiornamento da connettore USB. Se siete preoccupati per la programmazione di questa scheda, potete tranquillizzarvi; un po' grazie alla versatilità dell'attuale IDE Arduino, un po' per il lavoro del team di Chipkit che abbiamo parzialmente sfruttato (anche se con parecchie modifiche), ma anche grazie a librerie software da noi scritte e/o adattate, la programmazione si esegue come su una comune Arduino UNO, ossia tramite l'IDE, nel quale dovete attivare gli strumenti di sviluppo per le PIC

ed il gioco è fatto!

Per i componenti aggiuntivi abbiamo predisposto una serie di librerie, alcune delle quali sono in continuo sviluppo, ragion per cui consigliamo di visitare periodicamente il sito web www.fishino.it.

SCHEMA ELETTRICO

Lo schema ricalca in gran parte quello della Fishino32, rispetto alla quale utilizziamo un micro con maggior numero di I/O che è pressoché identico a quello della Fishino32, solo che qui è a 100 pin mentre nel modello più "piccolo" è a 64 pin.

Lo stesso microcontroller è disponibile con frequenze di clock che vanno dagli 80 MHz ai 120 MHz, però mentre sulla Fishino32 siamo riusciti a sfruttarlo a 120 MHz, sulla Fishino Shark abbiamo previsto la possibilità di selezionare la velocità tra 5 e 105MHz. Lo schema elettrico è molto simile a quello della Fishino32, analizziamolo e vediamo le differenze.

STADIO DI CONTROLLO DELL'ALIMENTAZIONE

Questo blocco risulta decisamente più complesso rispetto ai modelli precedenti, per le seguenti ragioni:

- la necessità di funzionare sia come host che come device USB;
- la tripla alimentazione;
- la possibilità di spegnimento software di tutto lo stadio di alimentazione;
- la possibilità di attivare esclusivamente l'alimentazione del controller in standby.

Iniziamo dalla sezione di controllo dell'alimentazione USB, la quale dev'essere in grado di fornire tensione alla Shark attraverso il connettore USB se connessi come device, mentre deve fornire un'adeguata alimentazione a un device eventualmente connesso alla scheda quando essa opera in modalità host USB. Per la commutazione ci viene in aiuto il piedino che fa capo alla linea USBID, collegata sia al connettore USB che all'apposita porta del controller. Ricordate che i cavetti microUSB sono cablati in modo da avere ad un estremo il pin corrispondente all'USBID connesso a massa (tipo A) e all'altro lo stesso pin scollegato (tipo B); l'apparecchiatura cui si connette l'estremità di tipo A assume il ruolo iniziale di host e contemporaneamente fornisce l'alimentazione all'altra apparecchiatura, connessa, questa, all'estremo di tipo B (che assume il ruolo iniziale di device). L'espressione "ruoli iniziali" è d'obbligo perché in una connessione OTG, i due dispositivi USB possono cambiare ruolo; la specifica garantisce soltanto che la linea verrà alimentata sempre dal device connesso all'estremità A.

Torniamo quindi al nostro schema; vediamo che alla linea USBID è connessa una resistenza di valore elevato (R2, 100 KOhm) verso massa, il cui scopo è solo non lasciare fluttuante la linea in caso di assenza di alimentazione, ed una resistenza (R4) di valore decisamente inferiore (10 KOhm) connessa tra i source dei MOSFET Q4 e Q5. Su questi, grazie ai diodi interni ai MOSFET, è sempre presente una tensione positiva (5V meno la caduta diretta sui diodi) proveniente o dalla presa USB o dall'alimentazione a 5V della scheda Fishino. Abbiamo quindi la certezza che la R4 sia connessa ai +5V in qualsiasi condizione di funzionamento. Se la linea USBID è scollegata da massa (connessione tipo B) questa tensione positiva, attraverso R4, porta in conduzione il MOSFET a canale N Q3, il quale a sua volta porta in conduzione il Q1; contemporaneamente, sempre attraverso R4 i due MOSFET Q4 e Q5, vengono posti in interdizione ed essendo collegati in antiserie, non permettono il passaggio dell'alimentazione dai 5V di Fishino al connettore USB.

Sintetizzando, a USBID fluttuante, quindi quando inseriamo un connettore di tipo B, Fishino non fornisce alimentazione al connettore USB che, per contro, alimenta Fishino attraverso il MOSFET Q1. Otteniamo quindi la prima parte dello scopo desiderato, ovvero che con un connettore di tipo B Fishino ricava l'alimentazione dalla linea USB comportandosi da device vero e proprio. Se invece inseriamo un connettore di tipo A, la linea USBID viene posta a massa, cosa che porta in conduzione Q4 e Q5 e contemporaneamente, sempre attraverso Q3, in interdizione Q1; l'alimentazione fluisce quindi da Fishino al connettore USB e non rientra "dalla porta di servizio" essendo Q1 interdetto.

Notate che nel secondo caso (connessione di tipo A) per poter fornire i 5V alla porta USB, Fishino deve essere alimentata dalla batteria o dal plug VIN, come vedremo in seguito.

Proseguendo l'analisi, notiamo le serie di diodi D1+D4 e D2+D3: i primi due sono per piccole correnti, mentre i secondi sono di potenza. Vediamo inoltre il MOSFET Q2, al quale giunge l'alimentazione della batteria. I diodi D2 e D3, insieme al MOSFET Q1, costituiscono una porta OR di potenza che confluisce nella linea VOR dello schema. Per i diodi, il funzionamento è questo: la tensione maggiore tra VIN e VUSB viene trasmessa su VOR, mentre l'altra, a causa dell'interdizione del diodo corrispondente, che si trova polarizzato inversamente, viene isolata. Ci si potrebbe chiedere perché sulla linea della batteria non abbiamo inserito semplicemente un diodo di potenza come per le altre due, cosa che effettivamen-

te avrebbe semplificato il circuito, realizzando una porta OR di potenza con tre diodi. Questo è fattibile, ma resta il problema della caduta di tensione sui diodi che, se per tensioni elevate è praticamente ininfluenza, su una tensione ridotta come quella della batteria porta a perdite considerevoli: si può dire che una caduta di tensione di 0,5V su 10V corrisponde al 5%, mentre la stessa caduta su 3,6V incide per circa il 14%, cosa che si riflette sull'assorbimento in corrente come vedremo di seguito, e proprio dove servirebbe una maggior efficienza, ovvero nell'alimentazione a batteria.

Il MOSFET Q2 non ha questo problema, perché diversamente dal diodo non presenta una caduta di tensione minima ma una resistenza di conduzione, molto bassa nel modello utilizzato; per contro, un MOSFET non ha il pregio del diodo di condurre solo quando serve, per cui occorre un sistema per mandarlo in conduzione o interdirlo. Per questo utilizziamo i due diodi per piccole correnti D1 e D4; il funzionamento è il seguente:

- se non è presente un'alimentazione su VIN e nemmeno attraverso VUSB, la resistenza R3 porta a massa il gate di Q1 che quindi conduce e permette il passaggio della tensione della batteria verso VOR;
- se invece è presente una delle due (VIN o VUSB, o entrambe) uno dei diodi D1 e D4 conduce, polarizzando positivamente Q2 che passa in interdizione scollegando quindi la batteria.

CARATTERISTICHE TECNICHE

- Formato standard Arduino MEGA
- Processore PIC32MX470F512
- 512 kB di ROM
- 128 kB di RAM
- Frequenza di clock di 105 MHz
- Interfaccia USB nativa, sia device che host
- RTC incorporato
- Lettore per schede microSD
- Modulo WiFi integrato
- Codec audio
- Tensione di alimentazione: 3÷20Vcc
- Alimentazione a batteria, plug e/o via connettore USB
- Funzionamento interno a 3,3 V
- Pin DIGITALI 5V-tolerant
- Ricarica automatica di una batteria LiPo
- Spegnimento da software con processore in standby
- Wake-up tramite pin esterno o in tempi prefissati

In breve, se abbiamo un'alimentazione esterna, che proviene dal plug VIN o dal connettore USB, la batteria viene scollegata; se invece manca l'alimentazione esterna entra in funzione la batteria.

Si può notare che la linea su cui confluiscono i diodi D1 e D4 ha un nome, BATOFF, perché questo segnale, che è a livello alto se è presente un'alimentazione esterna, verrà utilizzato anche in un'altra sezione del circuito.

Passiamo alla sezione circuitale facente capo ai MOSFET Q6 e Q7; questi servono per collegare la linea +3V3, ovvero la linea principale a +3,3V, dalla linea +3V3Core, destinata ad alimentare solo il controller. A cosa servono? Semplicemente ad evitare che un'alimentazione destinata al solo microcontrollore, attivata quando tutto il resto è spento allo scopo di mantenere attivo l'RTC interno ed altre funzionalità minime, confluisca nei circuiti che intendiamo tenere spenti. Normalmente, se è presente tensione sui +3,3V, questa confluisce attraverso il diodo interno a Q6, e anche attraverso il Q6 stesso se questo è in conduzione, sull'alimentazione +3V3Core del controller; è questo il funzionamento normale. Invece se togliamo l'alimentazione sui +3,3V, e contemporaneamente portiamo a livello basso la linea OFF, attraverso Q7 portiamo il Q6 ad interdizione e quindi impediamo ai +3V3Core di andare ad alimentare il resto della scheda. La linea OFF viene comandata dal controller, come vedremo in seguito, durante lo spegnimento programmato.

Si possono poi notare la pila al litio di mantenimento G1 ed il diodo D6, che servono a fornire tensione al controller quando manca qualsiasi altra cosa in grado di alimentarlo. Per questo occorre fare attenzione: se togliamo completamente l'alimentazione al Fishino, questa piletta finisce per alimentare tutta



la scheda, a meno di non "prendere provvedimenti" attraverso il software portando a livello basso la linea OFF. A differenza quindi delle schede ad 8 bit, dove la piletta serviva solo per la tensione di mantenimento dell'RTC, e la cosa veniva gestita in modo automatico, qui è necessario un intervento del software a supporto, altrimenti la piletta si scaricherebbe in pochi minuti.

Consigliamo quindi di non utilizzarla, e lasciare il mantenimento alla batteria LiPo ricaricabile, a meno che non si sappia come gestire il risparmio energetico della scheda via software.

Per ultima notiamo la linea PWRGOOD, connessa ad un partitore con la massa; questa fornisce un segnale positivo ad un I/O del controller che indica la presenza di un'alimentazione adeguata sulla scheda, e può venire utilizzato, appunto, per gestire la mancanza di questa e le funzioni di stand-by.

Come detto sopra si tratta di una gestione piuttosto complessa, per la quale è stata predisposta un'apposita libreria software, tuttora in fase di sviluppo, per gestire le modalità di stand-by.

Vi consigliamo di guardare il codice e gli esempi della libreria FishinoLowPower per capirne il funzionamento!

L'ultima parte della sezione in esame è quella che ruota attorno al regolatore lineare U1, un semplice regolatore a bassa corrente (max 100 mA circa) e bassissimo consumo, destinato a fornire la tensione di mantenimento al controller tramite la batteria LiPo esterna.

Questo ha lo stesso effetto della piletta al litio G1, con l'indubbio vantaggio di utilizzare una batteria ricaricabile in grado di fornire una durata estremamente lunga anche in presenza di consumi non proprio trascurabili.

Questa sezione è disattivabile tagliando il ponticello BCK, normalmente connesso. Anche qui valgono (anche se in modo meno pressante) i discorsi sul risparmio energetico fatti prima: se spegniamo via software la scheda, il controller prenderà alimentazione dalla batteria LiPo che quindi tenderà a scaricarsi; inoltre, se superassimo i 100 mA di assorbimento, il piccolo regolatore lineare si "siederebbe", annullando la sua tensione in uscita. È quindi sempre compito del software fare in modo che il controller venga posto in standby o comunque in una delle modalità a basso consumo disponibili.

STADIO DI ALIMENTAZIONE SWITCHING

Questo stadio fa capo agli integrati U2 (SX1308), un convertitore asincrono step-up qui utilizzato in modalità SEPIC in grado di fornire un'uscita a 5V

con tensioni in ingresso variabili da circa 3 a 20 V, ed all'integrato U3, che è un convertitore sincrono step-down, utilizzato per ricavare i 3,3 V di alimentazione per la maggior parte del circuito.

Entrambi questi stadi sono già stati ampiamente descritti per le schede Fishino Mega e Guppy e, per quanto riguarda il funzionamento del SEPIC, nella scheda Torpedo. Le uniche differenze consistono nella presenza del jumper ON, che permette l'inserimento di un interruttore di spegnimento in grado di togliere l'alimentazione a tutta la scheda (fatto salvo quella di mantenimento eventualmente abilitata, come spiegato nel paragrafo precedente), e la linea OFF, già vista prima, in grado di spegnere, se portata a massa, il convertitore switching.

Questa linea è sotto diretto controllo del processore, attraverso un I/O e permette quindi sia lo spegnimento completo della scheda via software, sia l'isolamento della sezione di alimentazione del solo controller dal resto del circuito.

Riassumendo, ponendo la linea OFF a massa viene tolta tutta l'alimentazione alla scheda; ovviamente questa linea deve essere mantenuta a massa dal controller che quindi deve rimanere operativo attraverso una delle due sorgenti di mantenimento (LiPo o piletta al litio); in assenza di queste, portando la linea OFF a massa otterremo solo un reset della scheda ed il conseguente riavvio del tutto.

STADIO CARICABATTERIA

Anche questo stadio, come nelle board precedenti, fa capo all'integrato MCP73831, un completo regolatore di carica integrato per LiPo a cella singola. Qui, l'unico elemento degno di nota è il mosfet Q8, un canale N utilizzato per abilitare o meno la funzione di carica della batteria.

Se ricordiamo la descrizione del primo stadio (controllo alimentazioni), la linea BATOFF è a livello alto quando è presente un'alimentazione esterna; in questo caso il mosfet Q8 va in conduzione, portando a massa la resistenza R15 (ed eventualmente la R16 se abbiamo selezionato la carica a 500 mA) attivando quindi la carica. In assenza di tensioni esterne (alimentazione a batteria) la linea BATOFF va a livello basso disattivando la carica.

A completamento della descrizione notiamo le resistenze R17 ed R18, che costituiscono un partitore di tensione in grado di fornire metà della tensione della batteria LiPo, misurabile attraverso una linea del controller per poter segnalare lo stato di carica della stessa. Abbiamo utilizzato un partitore perché la tensione della batteria LiPo, a piena carica, supera i 3,3 V tollerati dagli ingressi analogici del microcon-

trollore; occorre tenerne quindi conto nella misura.

SEZIONE MICROCONTROLLORE

Arriviamo finalmente al PIC32MX470F512L, un microcontroller a 32 bit capace di elevate prestazioni, consumi decisamente ridotti e con una ricca dotazione di periferiche.

Notiamo innanzitutto due quarzi, uno da 20 MHz e l'altro da 32,768 KHz. Ma perché due quarzi? Ebbene, perché il primo fornisce il clock principale, attraverso un PLL interno che lo moltiplica fino a 105 MHz; si tratta di un circuito non proprio a basso consumo, quindi da evitare nelle condizioni di risparmio energetico. Il quarzo da 32.768 Hz serve esclusivamente per il real-time-clock (RTC) interno al PIC, che è un circuito studiato appositamente per avere un bassissimo assorbimento e che può quindi essere lasciato in funzione anche in condizioni di stand-by.

Tornando al primo quarzo, accettando una precisione minore sulla frequenza questo avrebbe potuto essere rimosso perché il PIC integra un oscillatore RC piuttosto preciso, ma che ha due limiti:

- non fornisce la precisione del quarzo;
- non è in grado di portare il PIC alla sua massima frequenza di 105 MHz, a causa di vincoli del PLL interno che limitano a 96 MHz.

Il primo punto ha importanza solo se utilizziamo la scheda per misure precise di tempi brevi: ad esempio come frequenzimetro o periodimetro; per i tempi lunghi basterebbe l'altro quarzo.

Il secondo punto è vincolante se vogliamo "spremere" il controller al massimo delle sue possibilità.

Del micro notate le già accennate linee OFF, che gli permette di togliere l'alimentazione principale, PWRGOOD, che consente il controllo dello stato della medesima, ed MBAT che permette la misura della tensione della batteria.

In questa scheda, visto che gli I/O accessibili esternamente sono parecchi, abbiamo dovuto "multiplexare", ovvero sovrapporre, alcune funzionalità su singoli pin: la PWRGOOD, ad esempio, è sovrapposta all'ingresso analogico AD13; se si utilizza quest'ultimo la funzionalità di PWRGOOD non è disponibile e viceversa.

STADIO RESET E LED

Questo stadio è piuttosto interessante perché ci ha permesso di utilizzare un solo pulsante di reset per svariate funzioni, in abbinamento con un apposito bootloader sul controller.

Notiamo subito tre linee che fanno capo allo stadio

di reset:

- MCLR
- REMOTERESET
- LONGRESET

La linea MCLR è il reset vero e proprio e portandola a massa il microcontrollore viene riavviato. Notiamo subito che questo può avvenire sia premendo il pulsante di reset (attraverso il condensatore C22 che trasferisce un breve impulso a zero logico alla linea MCLR), sia portando a massa la linea REMOTERESET, proveniente dal modulo WiFi e che consente quindi a questo di resettare il micro.

La linea LONGRESET, per contro, viene a trovarsi a massa per tutto il tempo in cui il pulsante di reset viene mantenuto premuto, consentendo quindi al bootloader di conoscere le nostre intenzioni.

In sintesi:

- una breve pressione del pulsante reset (inferiore ai 2 secondi) o uno zero logico sulla linea REMOTERESET riavviano la scheda;
- mantenendo premuto il pulsante di reset per un tempo tra 2 e 4 secondi viene avviato il bootloader (cosa evidenziata dal lampeggio del LED arancione), mettendo quindi la scheda in modalità caricamento sketch;
- mantenendo premuto il pulsante per un tempo superiore ai 4 secondi si avvia la procedura di upgrade del firmware del modulo WiFi, cosa evidenziata dal lampeggio del LED blu.

È comunque possibile, una volta entrati nelle due modalità del bootloader, riavviare semplicemente la scheda ed eseguire lo sketch precaricato premendo nuovamente e brevemente il pulsante di reset.

Anche qui, per scarsità di pin, abbiamo dovuto condividere la linea LONGRESET con un I/O analogico (l' AD14); nessun problema, in questo caso, visto che premendo il reset l'ingresso non serve!

Al microcontrollore abbiamo assegnato due LED (pilotati attraverso i MOSFET Q10 e Q11 per non caricare eccessivamente gli I/O del PIC), multiplexati con la porta seriale 2, utilizzabili per qualsiasi compito (indicati sulla scheda come RX/PRG e TX, rispettivamente); utilizzando la porta seriale 2, i LED pulseranno in analogia con i dati in ingresso/uscita. Se non usiamo la seriale 2, possiamo gestire i LED via software.

Al microcontrollore troviamo inoltre collegato il solito LED connesso alla porta 13 che viene utilizzato nei test della scheda (programma BLINK), attraverso il mosfet Q9 per non caricare l'uscita D13. A differenza della Fishino32, l'uscita D13 è un normale I/O

e NON ha la funzionalità aggiuntiva di clock per l'interfaccia SPI, che è, come per l'Arduino/Fishino MEGA, su altri pin.

STADIO WIFI

Anche questo stadio è già stato descritto nelle precedenti schede, ma qui troviamo una differenza piuttosto consistente, quindi lo rivediamo in dettaglio.

Il modulo sfrutta sempre un firmware da noi realizzato, in grado di comunicare ad alta velocità tramite la porta SPI e non sulla seriale, come d'abitudine nei sistemi che utilizzano l'ESP8266; la differenza di prestazioni, come già notato, è notevole.

In questa scheda, per contro, non vediamo più il connettore ESPCONN al quale eravamo abituati nelle board precedenti ad 8 bit ed al quale facevano capo alcuni I/O e pin di controllo del modulo sfruttati, sia per programmarlo che, per alcuni di essi, come I/O aggiuntivi.

Come mai questa scelta? Semplicemente perché nella Fishino Shark abbiamo già liberato alcuni degli I/O che venivano usati per comunicare con il modulo e con la scheda SD, che erano il 4, 7 e 10; abbiamo inoltre separato la porta I²C dai due ingressi analogici A4 ed A5, ottenendo quindi 3 porte digitali e due porte analogiche in più a disposizione. Non solo, ma due porte sul connettore ICSP sono anch'esse sfruttabili come porte digitali aggiuntive (ne parleremo in dettaglio descrivendo il software), quindi abbiamo preferito sfruttare le connessioni con il modulo ESP in altro modo.

Infatti, quasi tutte le linee dell'ESP (salvo l'ingresso analogico) sono ora sotto controllo del processore principale, cosa che ci permette di effettuare le seguenti operazioni direttamente da software, senza impegnare alcun I/O :

- resettare il modulo da software;
- spegnere il modulo da software (cosa che in precedenza richiedeva l'uso di un I/O del Fishino);
- caricare il firmware sul modulo senza dover effettuare collegamenti strani né caricare sketch particolari;
- ridirigere l'output seriale del modulo sulla seriale USB o su qualsiasi altra seriale, sia software che hardware, disponibile sul Fishino.

Ma perché "quasi" tutte le linee? Anche qui, per risparmiare un I/O sul controller, abbiamo evitato di collegare la linea di RESET dell'ESP8266; la stessa funzionalità si può ottenere tranquillamente tramite la linea ESP_CHPD, che serve anche a mandare in modalità low-power il modulo.

Le nostre librerie software tengono già in conto tutto

questo.

Per il resto, cambia praticamente nulla rispetto alle schede precedenti: la comunicazione avviene attraverso la porta SPI, che fa capo anche alla scheda SD ed ai pins digitali D50, D51 e D53 sul connettore grande in fondo alla scheda.

Visto che la PIC utilizzata ha due interfacce SPI incorporate, verrebbe da chiedersi perché non è stata dedicata una di queste ai moduli inclusi (WiFi e SD) liberando così anche gli I/O D50, D51 e D53 completamente; questo è stato fatto perché la seconda interfaccia SPI è dedicata, in modalità I²S, al codec audio che quando è in funzione la impegna a tempo pieno. In un primo tempo avevamo scelto quella strada, salvo accorgerci in seguito che risultava impossibile, ad esempio, riprodurre un file audio letto da scheda SD, visto che durante la riproduzione l'interfaccia era totalmente impegnata con il codec senza possibilità di accedere alla SD.

Va detto che nelle schede in formato Arduino MEGA i tre I/O suddetti sono comunque dedicati alla porta SPI, e comunque se necessario abbiamo a disposizione i due I/O sulla porta ICSP di cui parlavamo prima, ed eventualmente tutti gli I/O analogici che sono comunque utilizzabili anche in digitale.

STADIO INTERFACCIA MICROSD

Questo stadio è assolutamente identico a quello delle schede già viste; sfrutta l'interfaccia SPI, come il modulo WiFi, mentre anche qui per la selezione della scheda viene utilizzato un I/O interno, lasciando libero quindi l'I/O D4 che prima era necessario per questo scopo.

L'unica grossa differenza rispetto alle schede precedenti è l'assenza degli stadi di conversione livelli (da 5 Volt a 3,3 V) visto che la PIC utilizza i 3,3 volt come alimentazione, rendendo quindi possibile (e più veloce!) un collegamento diretto. L'unico dettaglio da tenere presente nell'esecuzione di sketch esistenti è che il pin di selezione scheda (CS) non è più il 4 (o il 10 in alcune versioni di Arduino) ma un pin interno denominato SDCS; è quindi sufficiente sostituire tutti i riferimenti all'I/O 4 con l'I/O SDCS (scritto proprio così, visto che può cambiare fisicamente da scheda a scheda).

STADIO CODEC AUDIO

Ed eccoci arrivati alla succosa novità presente nel Fishino32, il codec audio!

Questo si basa su un chip, l'ALC5631Q, utilizzato in molti prodotti consumer (tablet, riproduttori audio, eccetera) e quindi dotato di prestazioni notevolissime pur conservando un prezzo più che accettabile.

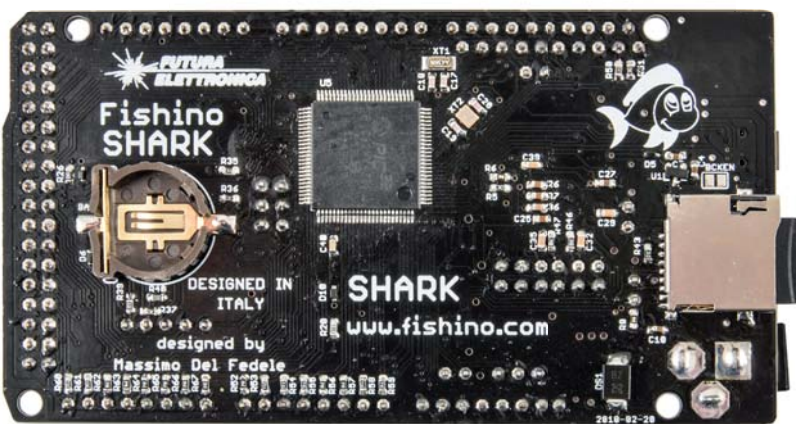
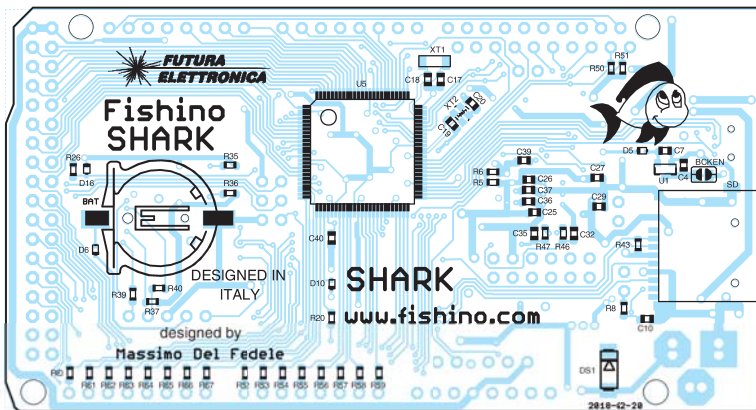
Il codec ha le seguenti caratteristiche:

- convertitore D/A (DAC) stereo a 24 bit con un rapporto segnale/disturbo di 100 dbA ed una distorsione totale a -90 db;
- convertitore A/D (ADC) stereo a 24 bit con un rapporto segnale/disturbo di 93 dbA ed una distorsione totale a -88 db;
- un amplificatore stereo in classe D in grado di erogare 650 mW per canale se alimentato a 3,3V su un'impedenza di 8 ohm e fino a 2,8 W per canale se alimentato (come nel nostro caso) a 5 volt, su un'impedenza di 4 ohm;
- un amplificatore per cuffie stereo, in grado di erogare 45 mW su 16 ohm, che purtroppo non utilizzeremo nella nostra scheda per motivi di spazio;
- 3 ingressi analogici differenziali o un ingresso analogico stereo (noi utilizziamo quest'ultimo);
- 2 ingressi microfonici analogici preamplificati, sia in modalità differenziale (da noi non usata) sia in modalità single-ended;
- un ingresso per microfono stereo digitale (anche questo, non utilizzato sulla nostra scheda sempre per motivi di spazio);
- un'uscita analogica di linea, alla quale è possibile connettere un amplificatore esterno;
- un completo sistema di power management che permette di spegnere i singoli componenti del codec se non utilizzati;
- un equalizzatore digitale a 6 bande audio;
- effetti di pseudo-stereo e di stereo spaziale;
- circuiti di rimozione dei disturbi di accensione e spegnimento negli altoparlanti;
- gestione automatica di livelli (ALC) sia in riproduzione che in registrazione;
- interfaccia standard I²S ad alta velocità (24 bit/ da 8 a 192 KHz sul DAC in riproduzione e 24 bit/ da 8 a 96 KHz sull'ADC in registrazione).

Come si può notare, una serie di caratteristiche impressionanti, che permetteranno di realizzare, senza alcun hardware aggiuntivo che non sia un altoparlante o un microfono, moltissimi progetti che coinvolgono l'audio digitale. Tra questi:

- player audio (wav e Mp3);
- registratore audio;
- riconoscimento vocale;
- sintesi musicale;
- sintesi vocale.

Come vedrete in seguito, abbiamo già implementato un player per files **.wav**, **.mp3** e **.ogg/.ogb**; per la registrazione abbiamo a disposizione una libreria in grado di creare files **.wav**. Esiste anche un encoder



Elenco Componenti:

- C1: 100 μ F ceramico
- C2, C3, C5, C6, C8, C10, C16, C40: 100 nF ceramico
- C4, C7, C21, C22, C24, C25, C26, C27, C28, C30, C31, C33, C34, C37: 1 μ F ceramico
- C9: 22 μ F 25 VL ceramico
- C11: 4,7 μ F 25 VL ceramico
- C12: 22 μ F ceramico
- C13: 360 pF ceramico
- C14: 10 μ F ceramico
- C15, C23, C32, C35, C36: 4,7 μ F ceramico
- C17÷C20: 22 pF ceramico
- C29: 22 μ F ceramico
- C38, C39: 2,2 μ F ceramico
- D1: RB521S
- D2, D3: SS34SMA
- D4÷D6, D8÷D20: RB521S
- D7: SS34SMA
- DZ1: MM3Z3V3
- DS1: SMBJ24CA
- Q1: FDN340P
- Q2: NTR4171P
- Q3: 2N7002
- Q4, Q5: FDN340P
- Q6: NTR4171P
- Q7÷Q11: 2N7002
- R1, R2: 100 kohm
- R3÷R5, R15, R28, R35÷R38, R43, R48÷R51: 10 kohm
- R6÷R8: 220 kohm
- R9: 97,6 kohm
- R10: 13,3 kohm

MP3, ma le sue prestazioni sono decisamente insufficienti ed è stato incluso solo per curiosità e per poter fare alcune prove; la compressione MP3 è infatti troppo onerosa per essere effettuata in real time dal nostro pur potentissimo controller.

Come già accennato parlando del modulo WiFi, il codec sfrutta un'interfaccia SPI dedicata, utilizzata in modalità I²S, per la gestione della quale abbiamo scritto un'apposita libreria software.

Il codec ha inoltre bisogno di una porta I²C (non necessariamente dedicata solo a lui, ed infatti abbiamo utilizzato la porta I²C standard del Fishino) per controllare tutte le varie funzioni disponibili.

Anche qui abbiamo creato un'apposita libreria in grado di controllare il funzionamento del codec; tramite questa si può, per esempio, decidere se registrare o riprodurre, modificare il volume audio, regolare l'equalizzatore, impostare l'ALC, eccetera.

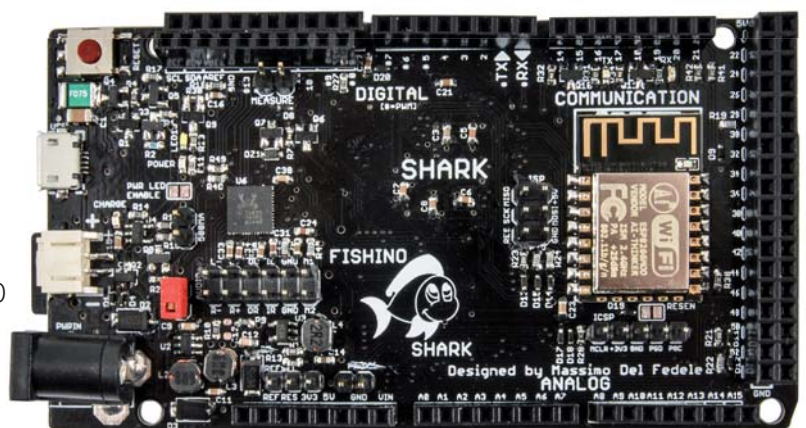
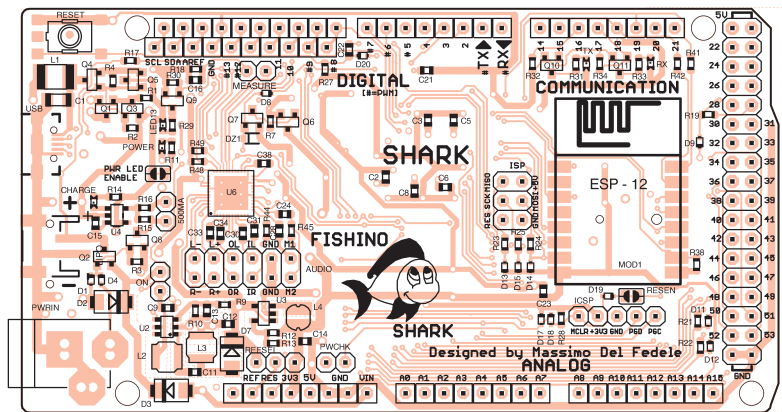
Come potrete ben immaginare, i controlli sono numerosissimi, quindi la libreria verrà estesa man-

mano che se ne presenterà la necessità.

Sullo schema elettrico della sezione c'è pochissimo da aggiungere: come potete vedere, oltre al codec abbiamo qualche condensatore di disaccoppiamento sulle alimentazioni e sugli I/O, un condensatore per un convertitore interno destinato ad aumentare la tensione per l'amplificatore delle cuffie (C38) ed un paio di resistenze per la tensione di bias (polarizzazione) dei microfoni. Null'altro!

Torniamo ora un momento sull'interfaccia I²S: si tratta di un'interfaccia basata sull'SPI, prevista espressamente per la trasmissione di flussi audio stereo ad alta velocità; a differenza della SPI e a causa del fatto che i segnali che vi transitano devono essere in tempo reale, è praticamente impossibile utilizzarla in contemporanea su più apparecchiature. L'interfaccia utilizza gli usuali pin SDI (MISO), SDO (MOSI) e SCK (clock) per i dati, mentre il pin di selezione viene utilizzato in modo differente per selezionare il canale audio tra i due trasmessi; è inoltre presen-

- | | |
|-----------------------------|--------------------------------|
| R11, R27, | 500mA |
| R41, R42: 1 kohm | L2: 6.8 μ H |
| R12: 475 kohm | L3: 6.8 μ H |
| R13: 105 kohm | L4: 2.2 μ H |
| R14, R29, | USB: Connettore |
| R31, R33: 470 ohm | micro-USB |
| R16: 2,7 kohm | SD: Connettore micro-SD |
| R17, R18: 1 Mohm | MOD1: Modulo ESP12 |
| R19÷R26: 680 ohm | con ESP8266 |
| R30, R32, R34: 220 kohm | LIPO: Connettore JST |
| R39: 3,3 kohm | 2 vie 2.54 mm |
| R40: 3,3 kohm | BAT: Porta batterie |
| R44, R45: 680 ohm | \varnothing 12 mm per CR1220 |
| R46, R47: 2,2 kohm | PWRIN: Plug alimentazione |
| R52÷R67: 220 ohm | RESET: Microswitch |
| U1: XC6206P33 | |
| U2: SX1308 | Varie: |
| U3: LC3406 | - Strip femmina 8 vie |
| U4: MCP73831 | (5 pz.) |
| U5: PIC32MX470F512L-120I/PF | - Strip femmina |
| U6: ALC5631Q | 10 vie (2 pz.) |
| XT1: 32.768 KHz | - Strip femmina 2x18 vie |
| XT2: 20MHz | - Strip maschio 2x3 vie |
| TX: LED blu | - Strip maschio 2x6 vie |
| RX/PRG: LED arancione | - Strip maschio 2 vie (4 pz.) |
| LED13: LED bianco | - Strip maschio 3 vie |
| POWER: LED verde | - Strip maschio 5 vie |
| CHARGE: LED rosso | - Jumper (4 pz.) |
| L1: MF-MSMF050-2 | - Circuito stampato S1408 |



te una linea addizionale di clock, utilizzata come riferimento.

Quindi abbiamo, nominando i pin dal lato master, ovvero dal punto di vista del controller:

- MISO o SDI --> ADCDAT, ovvero i dati in ingresso dal convertitore A/D al controller;
- MOSI o SDO --> DACDAT, ovvero i dati in uscita dal convertitore D/A verso la PIC;
- SCK --> BLCK, ovvero il clock per i singoli bit trasmessi;
- SS --> LRCK, ovvero il clock per differenziare canale sinistro e destro;
- MCLK --> clock di riferimento, abitualmente 4 volte il SCK.

Anche qui abbiamo dovuto "multiplexare" gli I/O del codec con altrettanti I/O disponibili sulla porta esterna in fondo al controller, e precisamente gli I/O dal 45 al 49.

Utilizzando l'audio questi I/O non saranno quindi

disponibili per le proprie applicazioni; per contro, non utilizzando il codec avremo quegli I/O liberi e, soprattutto, potranno essere utilizzati come un'ulteriore interfaccia SPI (chiamata SPI0 da software) totalmente indipendentemente dalla SPI standard. I segnali che transitano da/verso il codec sono visibili nella Fig. 1. In quest'immagine manca il clock di riferimento (MCLK) che è comunque un clock fisso di frequenza quadrupla rispetto al BLCK.

Lasciamo per il momento la descrizione del codec, che riprenderemo quando tratteremo le librerie software.

GLI HEADER

In questa sezione sono raggruppati tutti i connettori che portano i segnali verso l'esterno della scheda, quindi gli header laterali a standard Arduino, quello doppio in fondo alla scheda, il connettore ISP (che su Fishino Shark non è utilizzato per programmare la scheda, ma inserito per compatibilità con gli

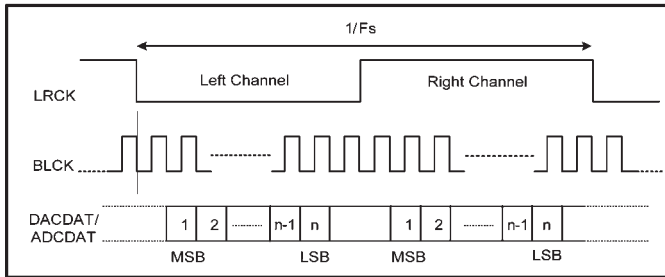


Fig. 1 - Temporizzazioni dei segnali del codec.

shields esistenti), il connettore ICSP (In Circuit Serial Programming) che serve per programmare la scheda senza passare per il bootloader (ad esempio per programmare il bootloader stesso), e sul quale sono disponibili due I/O digitali aggiuntivi, ed il connettore USB.

Come accennato elencando le caratteristiche della scheda, il PIC impiegato nella Shark ha molti, ma non tutti, i pin di I/O 5V tolerant, ovvero in grado di accettare 5V in ingresso.

Dove è stato possibile, abbiamo sfruttato quei pin portandoli all'esterno come I/O digitali; purtroppo in alcuni casi questo non è stato possibile ed abbiamo quindi inserito una protezione in ingresso tramite resistenze e diodi. La protezione consiste in una resistenza da 680 ohm in serie all'ingresso e in un diodo in grado di scaricare l'eccedenza di tensione sulla linea a 3,3 volt, limitando quindi la tensione in ingresso a tale valore.

Sui pin analogici, che non sono 5V tolerant (proprio a causa della circuiteria analogica interna al controller) abbiamo inserito solamente delle resistenze in serie per limitare un eventuale sovracorrente nel caso vi si inseriscano per errore dei valori superiori ai 3,3 volt.

Attenzione, questo non significa che è possibile inserire 5 volt su quel connettore! Le resistenze offrono un minimo grado di protezione, che dovrebbe proteggere il controller per brevi periodi se per errore vi si inseriscono i 5 volt, ma non bisogna farne conto ed utilizzarli stabilmente con quei valori di tensione! L'integrato dispone infatti di diodi di protezione al suo interno, che fanno le veci di quelli da noi inseriti esternamente nei pin digitali protetti; questi diodi sono però in grado di assorbire una corrente molto limitata e per brevi periodi di tempo, quindi non ci si deve fare assolutamente conto.

Nella sezione header troviamo anche un connettore denominato REFSEL, che serve per selezionare la tensione che verrà connessa al pin VREF; è infatti possibile farvi giungere i 5V, nel caso si utilizzino shields "normali" funzionanti a quella tensione, oppure i 3,3V destinati a shield a bassa tensione come quelli utilizzati nell'Arduino DUE.

REALIZZAZIONE PRATICA

Fishino Shark è una scheda realizzata completamente con componenti SMD, alcuni di dimensioni particolarmente ridotte e popolata su entrambi i lati. Pur utilizzando un PCB a due facce, quindi teoricamente realizzabile con metodi artigianali, ha molte piste sottili e moltissime vie (connessioni tra le due facce) che ne rendono la realizzazione.

Invece il montaggio non è particolarmente complesso, salvo per il codec audio ALC5631Q, che, essendo in package QFN, ha i piedini sotto il corpo, anche se lungo il bordo ed è praticamente impossibile da saldare con un comune saldatore a stilo, ma richiede la stazione ad aria calda.

Sugeriamo quindi ai meno esperti di acquistare la scheda già pronta all'uso, perché è più conveniente. Sul nostro sito mettiamo comunque a disposizione tutti i file necessari a realizzare il PCB.

CONCLUSIONI

Concludiamo qui questa prima puntata dove abbiamo introdotto le peculiarità della nostra scheda Fishino Shark, descrivendone l'hardware ed il funzionamento.

Nella prossima puntata vi spiegheremo come gestirla dall'IDE di Arduino e vi proporremo un primo sketch di prova per testarne le potenzialità.



XX

Il materiale va richiesto a:

Futura Elettronica, Via Adige 11, 21013 Gallarate (VA)
Tel: 0331-799775 - Fax: 0331-792287 - www.futurashop.it